

2.3 电荷 q 均匀分布在半径为 a 的导体球面上，当导体球以角速度 ω 绕通过球心的 z 轴旋转时，试计算导体球面上的面电流密度。

解 导体球上的面电荷密度为

$$\rho_s = \frac{q}{4\pi a^2}$$

球面上任一点的位置矢量为 $\mathbf{r} = \mathbf{e}_r a$ ，当导体球以角速度 ω 绕通过球心的 z 轴旋转时，该点的线速度为

$$\mathbf{v} = \boldsymbol{\omega} \times \mathbf{r} = \mathbf{e}_z \omega \times \mathbf{e}_r a = \mathbf{e}_\phi \omega a \sin \theta$$

则得导体球面上的面电流密度为

$$\mathbf{J}_s = \rho_s \mathbf{v} = \mathbf{e}_\phi \frac{q\omega}{4\pi a} \sin \theta$$

2.6 在真空中，点电荷 $q_1 = -0.3\mu\text{C}$ 位于点 $A(25, -30, 15)$ ；点电荷 $q_2 = 0.5\mu\text{C}$ 位于点 $B(-10, 8, 12)$ 。求：（1）坐标原点处的电场强度；（2）点 $P(15, 20, 50)$ 处的电场强度。

解 （1）源点的位置矢量及其大小分别为

$$\mathbf{r}'_1 = \mathbf{e}_x 25 - \mathbf{e}_y 30 + \mathbf{e}_z 15, \quad |\mathbf{r}'_1| = \sqrt{25^2 + 30^2 + 15^2} = 41.83$$

$$\mathbf{r}'_2 = -\mathbf{e}_x 10 + \mathbf{e}_y 8 + \mathbf{e}_z 12, \quad |\mathbf{r}'_2| = \sqrt{10^2 + 8^2 + 12^2} = 17.55$$

而场点 O 的位置矢量 $\mathbf{r}_0 = 0$ ，故坐标原点处的电场强度为

$$\begin{aligned} \mathbf{E}_0 &= \frac{1}{4\pi\epsilon_0} \left[\frac{q_1}{|\mathbf{r}_0 - \mathbf{r}'_1|^3} (\mathbf{r}_0 - \mathbf{r}'_1) + \frac{q_2}{|\mathbf{r}_0 - \mathbf{r}'_2|^3} (\mathbf{r}_0 - \mathbf{r}'_2) \right] \\ &= \frac{1}{4\pi\epsilon_0} \left[\frac{-0.3 \times 10^{-6}}{(41.83)^3} (-\mathbf{e}_x 25 + \mathbf{e}_y 30 + \mathbf{e}_z 15) + \right. \\ &\quad \left. \frac{0.5 \times 10^{-6}}{(17.55)^3} (\mathbf{e}_x 10 - \mathbf{e}_y 8 - \mathbf{e}_z 12) \right] \\ &= \mathbf{e}_x 9.237 - \mathbf{e}_y 7.762 - \mathbf{e}_z 9.437 \quad \text{V/m} \end{aligned}$$

（2）场点 P 的位置矢量为

$$\mathbf{r}_P = \mathbf{e}_x 15 + \mathbf{e}_y 20 + \mathbf{e}_z 50$$

故

$$\mathbf{r}_P - \mathbf{r}'_1 = -\mathbf{e}_x 10 + \mathbf{e}_y 50 + \mathbf{e}_z 35$$

$$\mathbf{r}_P - \mathbf{r}'_2 = \mathbf{e}_x 25 + \mathbf{e}_y 12 + \mathbf{e}_z 38$$

则

$$\begin{aligned} \mathbf{E}_P &= \frac{1}{4\pi\epsilon_0} \left[\frac{-0.3 \times 10^{-6}}{|\mathbf{r}_P - \mathbf{r}'_1|^3} (-\mathbf{e}_x 10 + \mathbf{e}_y 50 + \mathbf{e}_z 35) + \right. \\ &\quad \left. \frac{0.5 \times 10^{-6}}{|\mathbf{r}_P - \mathbf{r}'_2|^3} (\mathbf{e}_x 25 + \mathbf{e}_y 12 + \mathbf{e}_z 38) \right] \\ &= \mathbf{e}_x 1.194 - \mathbf{e}_y 0.0549 + \mathbf{e}_z 1.24 \quad \text{V/m} \end{aligned}$$

2.9 三根长度均为 L 、线电荷密度分别为 ρ_{l1} 、 ρ_{l2} 和 ρ_{l3} 的线电荷构成一个等边三角形，

设 $\rho_{l1} = 2\rho_{l2} = 2\rho_{l3}$ ，试求三角形中心的电场强度。

解 根据题意建立题 2.9 图所示的坐标系。三角形中心到各边的距离为

$$d = \frac{L}{2} \tan 30^\circ = \frac{\sqrt{3}}{6} L$$

直接利用有限长直线电荷的电场强度公式

$$E_r = \frac{\rho_{l1}}{4\pi\epsilon_0 r} (\cos \theta_1 - \cos \theta_2)$$

得

$$E_1 = e_y \frac{\rho_{l1}}{4\pi\epsilon_0 d} (\cos 30^\circ - \cos 150^\circ) = e_y \frac{3\rho_{l1}}{2\pi\epsilon_0 L}$$

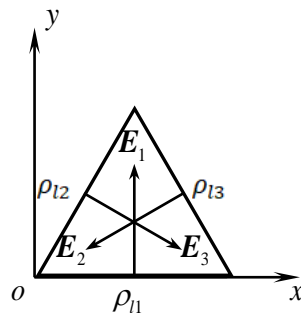
$$E_2 = -(e_x \cos 30^\circ + e_y \sin 30^\circ) \frac{3\rho_{l3}}{2\pi\epsilon_0 L} = -(e_x \sqrt{3} + e_y) \frac{3\rho_{l1}}{8\pi\epsilon_0 L}$$

$$E_3 = (e_x \cos 30^\circ - e_y \sin 30^\circ) \frac{3\rho_{l2}}{2\pi\epsilon_0 L} = (e_x \sqrt{3} - e_y) \frac{3\rho_{l1}}{8\pi\epsilon_0 L}$$

故等边三角形中心处的电场强度为

$$E = E_1 + E_2 + E_3 =$$

$$e_y \frac{3\rho_{l1}}{2\pi\epsilon_0 L} - (e_x \sqrt{3} + e_y) \frac{3\rho_{l1}}{8\pi\epsilon_0 L} + (e_x \sqrt{3} - e_y) \frac{3\rho_{l1}}{8\pi\epsilon_0 L} = e_y \frac{3\rho_{l1}}{4\pi\epsilon_0 L}$$



题 2.9 图

2.11 自由空间有三个无限大的均匀带电平面：位于点(0,0,-4)处的平面上 $\rho_{s1} = 3\text{nC/m}^2$ ，位于点(0,0,1)处的平面上 $\rho_{s2} = 6\text{nC/m}^2$ ，位于点(0,0,4)处的平面上 $\rho_{s3} = -8\text{nC/m}^2$ 。试求以下各点的 E ：(1) $P_1(2,5,-5)$ ；(2) $P_2(-2,4,5)$ ；(3) $P_3(-1,-5,2)$ 。

解 无限大的均匀面电荷产生的电场为均匀场，利用前面的结果得

(1)

$$\begin{aligned} E_1 &= -e_z \frac{\rho_{s1}}{2\epsilon_0} - e_z \frac{\rho_{s2}}{2\epsilon_0} - e_z \frac{\rho_{s3}}{2\epsilon_0} = \\ &= -e_z \frac{1}{2\epsilon_0} (3+6-8) \times 10^{-9} = \\ &= -e_z \frac{1}{2 \times 8.85 \times 10^{-12}} \times 10^{-9} = -e_z 56.49 \text{ V/m} \end{aligned}$$

(2)

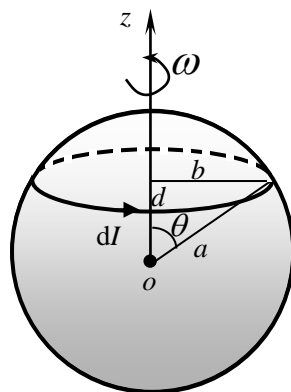
$$\begin{aligned} E_2 &= e_z \frac{\rho_{s1}}{2\epsilon_0} + e_z \frac{\rho_{s2}}{2\epsilon_0} + e_z \frac{\rho_{s3}}{2\epsilon_0} = \\ &= e_z \frac{1}{2\epsilon_0} (3+6+8) \times 10^{-9} = e_z 56.49 \text{ V/m} \end{aligned}$$

(3)

$$\begin{aligned} E_3 &= e_z \frac{\rho_{s1}}{2\epsilon_0} + e_z \frac{\rho_{s2}}{2\epsilon_0} - e_z \frac{\rho_{s3}}{2\epsilon_0} = \\ &= e_z \frac{1}{2\epsilon_0} (3+6+8) \times 10^{-9} = e_z 960.5 \text{ V/m} \end{aligned}$$

2.13 一个半径为 a 的导体球带电荷量为 q ，当球体以均匀角速度 ω 绕一个直径旋转时（如题 2.13 图所示），试求球心处的磁感应强度 B

解 导体球面上的面电荷密度为 $\rho_s = \frac{q}{4\pi a^2}$ ，当球体以均匀角速度



题 2.13 图

ω 绕一个直径旋转时，球面上位置矢量 $\mathbf{r} = \mathbf{e}_r a$ 点处的电流面密度为

$$\begin{aligned}\mathbf{J}_s &= \rho_s \mathbf{v} = \rho_s \boldsymbol{\omega} \times \mathbf{r} = \rho_s \mathbf{e}_z \omega \times \mathbf{e}_r a = \\ &= \mathbf{e}_\phi \omega \rho_s a \sin \theta = \mathbf{e}_\phi \frac{\omega q}{4\pi a} \sin \theta\end{aligned}$$

将球面划分为无数个宽度为 $d\mathbf{l} = a d\theta$ 的细圆环，则球面上任一个宽度为 $d\mathbf{l} = a d\theta$ 细圆环的电流为

$$dI = J_s d\mathbf{l} = \frac{\omega q}{4\pi} \sin \theta d\theta$$

该细圆环的半径为 $b = a \sin \theta$ ，细圆环平面到球心的距离 $d = a \cos \theta$ ，利用电流圆环的轴线上任一点的磁场公式，可得到该细圆环电流在球心处产生的磁场为

$$d\mathbf{B} = \mathbf{e}_z \frac{\mu_0 b^2 dI}{2(b^2 + d^2)^{3/2}} = \mathbf{e}_z \frac{\mu_0 \omega q a^2 \sin^3 \theta d\theta}{8\pi(a^2 \sin^2 \theta + a^2 \cos^2 \theta)^{3/2}} = \mathbf{e}_z \frac{\mu_0 \omega q \sin^3 \theta d\theta}{8\pi a}$$

故整个球面电流在球心处产生的磁场为

$$\mathbf{B} = \int d\mathbf{B} = \int_0^\pi \mathbf{e}_z \frac{\mu_0 \omega q \sin^3 \theta}{8\pi a} d\theta = \mathbf{e}_z \frac{\mu_0 \omega q}{6\pi a}$$

2.15 一条扁平的直导体带，宽度为 $2a$ ，中心线与 z 轴重合，通过的电流为 I 。试证明在第一象限内任一点 P 的磁感应强度为

$$\begin{aligned}B_x &= -\frac{\mu_0 I}{4\pi a} \alpha \\ B_y &= \frac{\mu_0 I}{4\pi a} \ln \left(\frac{r_2}{r_1} \right)\end{aligned}$$

式中的 α 、 r_1 和 r_2 如图 2.15 图所示。

解 将导体带划分为无数个宽度为 dx' 的细条带，每一细条带的电流 $dI = \frac{I}{2a} dx'$ 。根据安培环路定理，可得到位于 x' 处的细条带的电流 dI 在点处的磁场为

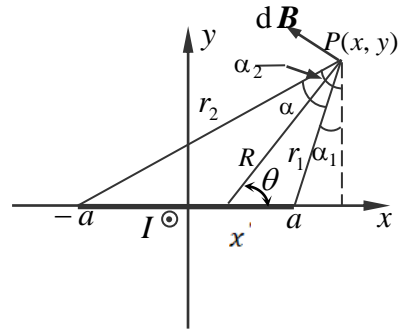
$$d\mathbf{B} = \mathbf{e}_\phi \frac{\mu_0 dI}{2\pi R} = \mathbf{e}_\phi \frac{\mu_0 I dx'}{4\pi a R} = \mathbf{e}_\phi \frac{\mu_0 I dx'}{4\pi a [(x-x')^2 + y^2]^{1/2}}$$

故

$$\begin{aligned}dB_x &= -dB \sin \theta = -\frac{\mu_0 I y dx'}{4\pi a [(x-x')^2 + y^2]} \\ dB_y &= dB \cos \theta = \frac{\mu_0 I (x-x') dx'}{4\pi a [(x-x')^2 + y^2]}\end{aligned}$$

式中的 x' 如题 2.18 图（附）所示，则得

$$\begin{aligned}B_x &= -\int_{-a}^a \frac{\mu_0 I y dx'}{4\pi a [(x-x')^2 + y^2]} = \\ &= -\frac{\mu_0 I}{4\pi a} \arctan \left(\frac{x'-x}{y} \right) \Big|_{-a}^a = \\ &= -\frac{\mu_0 I}{4\pi a} \left[\arctan \left(\frac{a-x}{y} \right) - \arctan \left(\frac{-a-x}{y} \right) \right] =\end{aligned}$$



题 2.15 图（附）

$$\begin{aligned}
& -\frac{\mu_0 I}{4\pi a} \left[\arctan\left(\frac{x+a}{y}\right) - \arctan\left(\frac{x-a}{y}\right) \right] = \\
& -\frac{\mu_0 I}{4\pi a} (\alpha_2 - \alpha_1) = -\frac{\mu_0 I}{4\pi a} \alpha \\
B_y &= \int_{-a}^a \frac{\mu_0 I (x-x') dx'}{4\pi a [(x-x')^2 + y^2]} = -\frac{\mu_0 I}{8\pi a} \ln[(x-x')^2 + y^2] \Big|_{-a}^a = \\
& \frac{\mu_0 I}{8\pi a} \ln \frac{(x+a)^2 + y^2}{(x-a)^2 + y^2} = \frac{\mu_0 I}{4\pi a} \ln \frac{r_2}{r_1}
\end{aligned}$$

2.18 下面的矢量函数中哪些可能是磁场？如果是，求出其源量 \mathbf{J} 。

(1) $\mathbf{H} = \mathbf{e}_\rho a\rho$, $\mathbf{B} = \mu_0 \mathbf{H}$ (圆柱坐标系)

(2) $\mathbf{H} = \mathbf{e}_x(-ay) + \mathbf{e}_y ax$, $\mathbf{B} = \mu_0 \mathbf{H}$

(3) $\mathbf{H} = \mathbf{e}_x ax - \mathbf{e}_y ay$, $\mathbf{B} = \mu_0 \mathbf{H}$

(4) $\mathbf{H} = \mathbf{e}_\phi ar$, $\mathbf{B} = \mu_0 \mathbf{H}$ (球坐标系)

解 根据静态磁场的基本性质，只有满足 $\nabla \cdot \mathbf{B} = 0$ 的矢量函数才可能是磁场的场矢量，对于磁场矢量，则可由方程 $\mathbf{J} = \nabla \times \mathbf{H}$ 求出源分布。

(1) 在圆柱坐标中

$$\nabla \cdot \mathbf{B} = \frac{1}{\rho} \frac{\partial}{\partial \rho} (\rho B_\rho) = \frac{\mu_0}{\rho} \frac{\partial}{\partial \rho} (a\rho^2) = 2a\mu_0 \neq 0$$

可见矢量 $\mathbf{H} = \mathbf{e}_\rho a\rho$ 不是磁场的场矢量。

(2) 在直角坐标系中

$$\nabla \cdot \mathbf{B} = \frac{\partial}{\partial x}(-ay) + \frac{\partial}{\partial y}(ax) = 0$$

故矢量 $\mathbf{H} = \mathbf{e}_x(-ay) + \mathbf{e}_y ax$ 是磁场矢量，其源分布为

$$\mathbf{J} = \nabla \times \mathbf{H} = \begin{vmatrix} \mathbf{e}_x & \mathbf{e}_y & \mathbf{e}_z \\ \frac{\partial}{\partial x} & \frac{\partial}{\partial y} & \frac{\partial}{\partial z} \\ -ay & ax & 0 \end{vmatrix} = \mathbf{e}_z 2a$$

(3) $\nabla \cdot \mathbf{B} = \frac{\partial}{\partial x}(ax) + \frac{\partial}{\partial y}(-ay) = 0$

故矢量 $\mathbf{H} = \mathbf{e}_x ax - \mathbf{e}_y ay$ 是磁场矢量，其源分布为

$$\mathbf{J} = \nabla \times \mathbf{H} = \begin{vmatrix} \mathbf{e}_x & \mathbf{e}_y & \mathbf{e}_z \\ \frac{\partial}{\partial x} & \frac{\partial}{\partial y} & \frac{\partial}{\partial z} \\ ax & -ay & 0 \end{vmatrix} = 0$$

(4) 在球坐标系中

$$\nabla \cdot \mathbf{B} = \frac{1}{r \sin \theta} \frac{\partial B_\phi}{\partial \phi} = \frac{1}{r \sin \theta} \frac{\partial}{\partial \phi} (ar) = 0$$

故矢量 $\mathbf{H} = \mathbf{e}_\phi ar$ 是磁场的场矢量，其源分布为

$$\mathbf{J} = \nabla \times \mathbf{H} = \frac{1}{r^2 \sin \theta} \begin{vmatrix} \mathbf{e}_r & r\mathbf{e}_\theta & r \sin \theta \mathbf{e}_\phi \\ \frac{\partial}{\partial r} & \frac{\partial}{\partial \theta} & \frac{\partial}{\partial \phi} \\ 0 & 0 & ar^2 \sin \theta \end{vmatrix} = \mathbf{e}_r a \cot \theta - \mathbf{e}_\theta 2a$$

2.19 通过电流密度为 \mathbf{J} 的均匀电流的长圆柱导体中有一平行的圆柱形空腔，其横截面如题 2.19 图所示。试计算各部分的磁感应强度，并证明空腔内的磁场是均匀的。

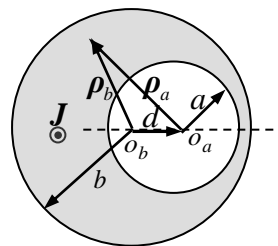
解 将题给的非对称电流分布分解为两个对称电流分布的叠加：一个是电流密度 \mathbf{J} 均匀分布在半径为 b 的圆柱内，另一个是电流密度 $-\mathbf{J}$ 均匀分布在半径为 a 的圆柱内。原有的空腔被看作是同时存在 \mathbf{J} 和 $-\mathbf{J}$ 两种电流密度。这样就可以利用安培环路定律分别求出两种对称电流分布的磁场，再进行叠加即可得到解答。

由安培环路定律 $\oint_C \mathbf{B} \cdot d\mathbf{l} = \mu_0 I$ ，先求出均匀分布在半径为 b 的圆柱内的 \mathbf{J} 产生的磁场为

$$\mathbf{B}_b = \begin{cases} \frac{\mu_0}{2} \mathbf{J} \times \boldsymbol{\rho}_b & \rho_b < b \\ \frac{\mu_0 b^2}{2} \frac{\mathbf{J} \times \boldsymbol{\rho}_b}{\rho_b^2} & \rho_b > b \end{cases}$$

同样，均匀分布再半径为 a 的圆柱内的 $-\mathbf{J}$ 产生的磁场为

$$\mathbf{B}_a = \begin{cases} -\frac{\mu_0}{2} \mathbf{J} \times \boldsymbol{\rho}_a & \rho_a < a \\ -\frac{\mu_0 a^2}{2} \frac{\mathbf{J} \times \boldsymbol{\rho}_a}{\rho_a^2} & \rho_a > a \end{cases}$$



题 2.19 图

这里 $\boldsymbol{\rho}_a$ 和 $\boldsymbol{\rho}_b$ 分别是点 o_a 和 o_b 到场点 P 的位置矢量。

将 \mathbf{B}_a 和 \mathbf{B}_b 叠加，可得到空间各区域的磁场为

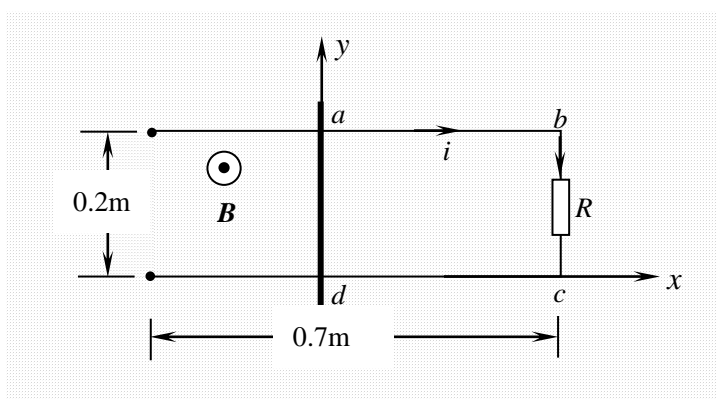
$$\text{圆柱外: } \mathbf{B} = \frac{\mu_0}{2} \mathbf{J} \times \left(\frac{b^2}{\rho_b^2} \boldsymbol{\rho}_b - \frac{a^2}{\rho_a^2} \boldsymbol{\rho}_a \right) \quad (\rho_b > b)$$

$$\text{圆柱内的空腔外: } \mathbf{B} = \frac{\mu_0}{2} \mathbf{J} \times \left(\boldsymbol{\rho}_b - \frac{a^2}{\rho_a^2} \boldsymbol{\rho}_a \right) \quad (\rho_b < b, \rho_a > a)$$

$$\text{空腔内: } \mathbf{B} = \frac{\mu_0}{2} \mathbf{J} \times (\boldsymbol{\rho}_b - \boldsymbol{\rho}_a) = \frac{\mu_0}{2} \mathbf{J} \times \mathbf{d} \quad (\rho_a < a)$$

式中 \mathbf{d} 是点和 o_b 到点 o_a 的位置矢量。由此可见，空腔内的磁场是均匀的。

2.22 一导体滑片在两根平行的轨道上滑动，整个装置位于正弦时变磁场 $\mathbf{B} = \mathbf{e}_z 5 \cos \omega t \text{ mT}$ 之中，如题 2.22 图所示。滑片的位置由 $x = 0.35(1 - \cos \omega t) \text{ m}$ 确定，轨道终端接有电阻 $R = 0.2 \text{ } \Omega$ ；试求感应电流 i 。



题 2.22 图

解 穿过导体回路 $abcd$ 的磁通为

$$\Phi = \int \mathbf{B} \cdot d\mathbf{S} = \mathbf{e}_z \mathbf{B} \cdot \mathbf{e}_z ab \times ad = 5 \cos \omega t \times 0.2(0.7 - x) = \cos \omega t [0.7 - 0.35(1 - \cos \omega t)] = 0.35 \cos \omega t (1 + \cos \omega t)$$

故得感应电流为

$$i = \frac{\varepsilon_{in}}{R} = -\frac{1}{R} \frac{d\Phi}{dt} = -\frac{1}{0.2} \times 0.35 \omega \sin \omega t (1 + 2 \cos \omega t) = -1.75 \omega \sin \omega t (1 + 2 \cos \omega t) \text{ mA}$$

2.24 求下列情况下的位移电流密度的大小:

(1) 某移动天线发射的电磁波的磁场强度

$$\mathbf{H} = \mathbf{e}_x 0.15 \cos(9.36 \times 10^8 t - 3.12 y) \text{ A/m};$$

(2) 一大功率变压器在空气中产生的磁感应强度

$$\mathbf{B} = \mathbf{e}_y 0.8 \cos(3.77 \times 10^2 t - 1.26 \times 10^{-6} x) \text{ T};$$

(3) 一大功率电容器在填充的油中产生的电场强度

$$\mathbf{E} = \mathbf{e}_x 0.9 \cos(3.77 \times 10^2 t - 2.81 \times 10^{-6} z) \text{ MV/m}$$

设油的相对介电常数 $\varepsilon_r = 5$;

(4) 工频($f = 50\text{Hz}$)下的金属导体中, $\mathbf{J} = \mathbf{e}_x \sin(377 \times t - 107 z) \text{ MA/m}^2$, 设金属导

体的 $\varepsilon = \varepsilon_0, \mu = \mu_0, \sigma = 5.8 \times 10^7 \text{ S/m}$ 。

解 (1) 由 $\nabla \times \mathbf{H} = \frac{\partial \mathbf{D}}{\partial t}$ 得

$$\begin{aligned} \mathbf{J}_d = \frac{\partial \mathbf{D}}{\partial t} = \nabla \times \mathbf{H} &= \begin{vmatrix} \mathbf{e}_x & \mathbf{e}_y & \mathbf{e}_z \\ \frac{\partial}{\partial x} & \frac{\partial}{\partial y} & \frac{\partial}{\partial z} \\ H_x & 0 & 0 \end{vmatrix} = -\mathbf{e}_z \frac{\partial H_x}{\partial y} = \\ &= -\mathbf{e}_z \frac{\partial}{\partial y} [0.15 \cos(9.36 \times 10^8 t - 3.12 y)] = \\ &= -\mathbf{e}_z 0.468 \sin(9.36 \times 10^8 t - 3.12 y) \text{ A/m}^2 \end{aligned}$$

故

$$|\mathbf{J}_d| = 0.468 \text{ A/m}^2$$

(2) 由 $\nabla \times \mathbf{H} = \frac{\partial \mathbf{D}}{\partial t}$, $\mathbf{B} = \mu_0 \mathbf{H}$ 得

$$\begin{aligned} \mathbf{J}_d &= \frac{\partial \mathbf{D}}{\partial t} = \frac{1}{\mu_0} \nabla \times \mathbf{B} = \frac{1}{\mu_0} \begin{vmatrix} \mathbf{e}_x & \mathbf{e}_y & \mathbf{e}_z \\ \frac{\partial}{\partial x} & \frac{\partial}{\partial y} & \frac{\partial}{\partial z} \\ 0 & B_y & 0 \end{vmatrix} = \mathbf{e}_z \frac{1}{\mu_0} \frac{\partial B_y}{\partial x} = \\ &= \mathbf{e}_z \frac{1}{\mu_0} \frac{\partial}{\partial x} [0.8 \cos(3.77 \times 10^2 t - 1.26 \times 10^{-6} x)] = \\ &= \mathbf{e}_z 0.802 \sin(3.77 \times 10^2 t - 1.26 \times 10^{-6} x) \quad \text{A/m}^2 \end{aligned}$$

故

$$\begin{aligned} |\mathbf{J}_d| &= 0.802 \quad \text{A/m}^2 \\ (3) \quad \mathbf{D} &= \varepsilon_r \varepsilon_0 \mathbf{E} = 5\varepsilon_0 [\mathbf{e}_x 0.9 \times 10^6 \cos(3.77 \times 10^2 t - 2.81 \times 10^{-6} z)] = \\ &= \mathbf{e}_x 5 \times 8.85 \times 10^{-12} \times 0.9 \times 10^6 \cos(3.77 \times 10^2 t - 2.81 \times 10^{-6} z) \\ \mathbf{J}_d &= \frac{\partial \mathbf{D}}{\partial t} = -\mathbf{e}_x 15 \times 10^{-3} \sin(3.77 \times 10^2 t - 2.81 \times 10^{-6} z) \quad \text{A/m}^2 \end{aligned}$$

故

$$\begin{aligned} |\mathbf{J}_d| &= 15 \times 10^{-3} \quad \text{A/m}^2 \\ (4) \quad \mathbf{E} &= \frac{\mathbf{J}}{\sigma} = \frac{1}{5.8 \times 10^7} \mathbf{e}_x 10^6 \sin(377t - 107z) = \\ &= \mathbf{e}_x 1.72 \times 10^{-2} \sin(377t - 107z) \quad \text{V/m} \\ \mathbf{D} &= \varepsilon \mathbf{E} = \mathbf{e}_x 8.85 \times 10^{-12} \times 1.72 \times 10^{-2} \sin(377t - 107z) \\ \mathbf{J}_d &= \frac{\partial \mathbf{D}}{\partial t} = \mathbf{e}_x 15.26 \times 10^{-14} \times 377 \cos(377t - 107z) = \\ &= \mathbf{e}_x 57.53 \times 10^{-12} \cos(377t - 107z) \quad \text{A/m}^2 \end{aligned}$$

故

$$|\mathbf{J}_d| = 57.53 \times 10^{-12} \quad \text{A/m}^2$$

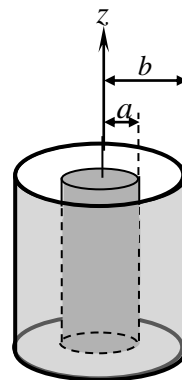
2.25 同轴线的内导体半径 $a=1\text{mm}$, 外导体的内半径 $b=4\text{mm}$, 内外导体间为空气, 如题 2.25 图所示。假设内、外导体间的电场强度为 $\mathbf{E} = \mathbf{e}_\rho \frac{100}{\rho} \cos(10^8 t - kz) \quad \text{V/m}$

(1) 求与 \mathbf{E} 相伴的 \mathbf{H} ; (2) 确定 k 的值; (3) 求内导体表面的电流密度; (4) 求沿轴线 $0 \leq z \leq 1\text{m}$ 区域内的位移电流。

解 (1) 维系电场 \mathbf{E} 和磁场 \mathbf{H} 的是麦克斯韦方程。将 $\nabla \times \mathbf{E} = -\mu_0 \frac{\partial \mathbf{H}}{\partial t}$ 在圆柱坐标系中展开, 得

$$\begin{aligned} \frac{\partial \mathbf{H}}{\partial t} &= -\frac{1}{\mu_0} \nabla \times \mathbf{E} = -\mathbf{e}_\phi \frac{1}{\mu_0} \frac{\partial E_\rho}{\partial z} = \\ &= -\mathbf{e}_\phi \frac{100k}{\mu_0 \rho} \sin(10^8 t - kz) \end{aligned}$$

将上式对时间 t 积分, 得



题 2.25 图

$$\mathbf{H} = \mathbf{e}_\phi \frac{100k}{\mu_0 \rho \times 10^8} \cos(10^8 t - kz)$$

(2) 为确定 k 值, 将上述 \mathbf{H} 代入 $\nabla \times \mathbf{H} = \varepsilon_0 \frac{\partial \mathbf{E}}{\partial t}$, 得

$$\frac{\partial \mathbf{E}}{\partial t} = \frac{1}{\varepsilon_0} \nabla \times \mathbf{H} = \frac{1}{\varepsilon_0} \frac{\mathbf{e}_\rho}{\rho} \left[-\frac{\partial}{\partial z} (\rho H_\phi) \right] = -\mathbf{e}_\rho \frac{100k^2}{\mu_0 \varepsilon_0 \rho \times 10^8} \sin(10^8 t - kz)$$

将上式对时间 t 积分, 得

$$\mathbf{E} = \mathbf{e}_\rho \frac{100k^2}{\mu_0 \varepsilon_0 \rho \times (10^8)^2} \cos(10^8 t - kz)$$

将其与题给的 $\mathbf{E} = \mathbf{e}_\rho \frac{100}{\rho} \cos(10^8 t - kz)$ 比较, 得

$$k^2 = (10^8)^2 \mu_0 \varepsilon_0$$

故

$$k = 10^8 \sqrt{\mu_0 \varepsilon_0} = \frac{10^8}{3 \times 10^8} = \frac{1}{3} \text{ rad/m}$$

因此, 同轴线内、外导体之间的电场和磁场表示式分别为

$$\mathbf{E} = \mathbf{e}_\rho \frac{100}{\rho} \cos\left(10^8 t - \frac{1}{3} z\right) \text{ V/m}$$

$$\mathbf{H} = \mathbf{e}_\phi \frac{100}{120\pi\rho} \cos\left(10^8 t - \frac{1}{3} z\right) \text{ A/m}$$

(3) 将内导体视为理想导体, 利用理想导体的边界条件即可求出内导体表面的电流密度

$$\mathbf{J}_s = \mathbf{e}_n \times \mathbf{H}|_{\rho=a} = \mathbf{e}_\rho \times \mathbf{e}_\phi \frac{100}{120\pi\rho} \cos\left(10^8 t - \frac{1}{3} z\right) =$$

$$\mathbf{e}_z 265.3 \cos\left(10^8 t - \frac{1}{3} z\right) \text{ A/m}$$

位移电流密度为

$$\mathbf{J}_d = \varepsilon_0 \frac{\partial \mathbf{E}}{\partial t} = \varepsilon_0 \frac{\partial}{\partial t} \left[\mathbf{e}_\rho \frac{100}{\rho} \cos(10^8 t - \frac{1}{3} z) \right]$$

$$= -\mathbf{e}_\rho \frac{8.85 \times 10^{-2}}{\rho} \sin(10^8 t - \frac{1}{3} z) \text{ A/m}^2$$

在 $0 \leq z \leq 1 \text{ m}$ 区域中的位移电流则为

$$i_d = \int_S \mathbf{J}_d \cdot d\mathbf{S} = \int_0^1 \mathbf{J}_d \cdot \mathbf{e}_\rho 2\pi\rho dz = -2\pi \times 8.85 \times 10^{-2} \int_0^1 \sin(10^8 t - \frac{1}{3} z) dz$$

$$= -2\pi \times 8.85 \times 10^{-2} \times 3 \left[\cos(10^8 t - \frac{1}{3} z) \right]_0^1 = 0.55 \sin(10^8 t - \frac{1}{6})$$

2.26 由置于 $\rho = 3 \text{ mm}$ 和 $\rho = 10 \text{ mm}$ 的导体圆柱面和 $z=0$ 、 $z=20 \text{ cm}$ 的导体平面围成的圆柱形空间内充满 $\varepsilon = 4 \times 10^{-11} \text{ F/m}$, $\mu = 2.5 \times 10^{-6} \text{ H/m}$, $\sigma = 0$ 的媒质。若设定媒质中的磁场强度

为 $\mathbf{H} = \mathbf{e}_\phi \frac{2}{\rho} \cos 10\pi z \cos \omega t \text{ A/m}$, 利用麦克斯韦方程求: (1) ω ; (2) \mathbf{E} 。

解 (1) 将题设的 \mathbf{H} 代入方程 $\nabla \times \mathbf{H} = \varepsilon \frac{\partial \mathbf{E}}{\partial t}$, 得

$$\begin{aligned}\nabla \times \mathbf{H} &= \mathbf{e}_\rho \left(-\frac{\partial H_\phi}{\partial z} \right) + \mathbf{e}_z \frac{1}{\rho} \frac{\partial}{\partial \rho} (\rho H_\phi) = -\mathbf{e}_\rho \frac{\partial}{\partial z} \left(\frac{2}{\rho} \cos 10\pi z \cos \omega t \right) \\ &= \mathbf{e}_\rho \frac{2 \times 10\pi}{\rho} \sin 10\pi z \cos \omega t = \mathbf{e}_\rho \varepsilon \frac{\partial E_\rho}{\partial t}\end{aligned}$$

对时间 t 积分, 得

$$E_\rho = \frac{1}{\varepsilon} \int \frac{20\pi}{\rho} \sin 10\pi z \cos \omega t dt = \frac{20\pi}{\varepsilon \omega \rho} \sin 10\pi z \sin \omega t$$

将 $\mathbf{E} = \mathbf{e}_\rho E_\rho$ 代入方程 $\nabla \times \mathbf{E} = -\mu \frac{\partial \mathbf{H}}{\partial t}$, 得

$$\begin{aligned}\nabla \times \mathbf{E} &= \mathbf{e}_\phi \frac{\partial E_\rho}{\partial z} = \mathbf{e}_\phi \frac{\partial}{\partial z} \left(\frac{20\pi}{\varepsilon \omega \rho} \sin 10\pi z \sin \omega t \right) \\ &= \mathbf{e}_\phi \frac{200\pi^2}{\varepsilon \omega \rho} \cos 10\pi z \sin \omega t = \mathbf{e}_\phi \mu \frac{\partial H_\phi}{\partial t}\end{aligned}$$

对时间 t 积分, 得

$$H_\phi = -\frac{200\pi^2}{\mu \varepsilon \omega \rho} \cos 10\pi z \int \sin \omega t dt = \frac{200\pi^2}{\mu \varepsilon \omega^2 \rho} \cos 10\pi z \cos \omega t$$

将上式与题设的 $H_\phi = \frac{2}{\rho} \cos 10\pi z \cos \omega t$ 对比, 得

$$\omega^2 = \frac{100\pi^2}{\mu \varepsilon} = \frac{100\pi^2}{2.5 \times 10^{-6} \times 4 \times 10^{-11}} = \pi^2 \times 10^{18}$$

故

$$\omega = \pi \times 10^9 \text{ rad/s}$$

(2) 将 $\omega = \pi \times 10^9 \text{ rad/s}$, $\varepsilon = 4 \times 10^{-11} \text{ F/m}$ 代入 $E_\rho = \frac{20\pi}{\varepsilon \omega \rho} \sin 10\pi z \sin \omega t$ 中, 得

$$\begin{aligned}\mathbf{E} &= \mathbf{e}_\rho \frac{20\pi}{4 \times 10^{-11} \times \pi \times 10^9 \rho} \sin 10\pi z \sin(10^9 t) \\ &= \mathbf{e}_\rho \frac{10^3}{2\rho} \sin 10\pi z \sin(10^9 t) \text{ V/m}\end{aligned}$$

2.27 媒质 1 的电参数为 $\varepsilon_1 = 4\varepsilon_0$ 、 $\mu_1 = 2\mu_0$ 、 $\sigma_1 = 0$; 媒质 2 的电参数为 $\varepsilon_2 = 2\varepsilon_0$ 、 $\mu_2 = 3\mu_0$ 、 $\sigma_2 = 0$ 。两种媒质分界面上的法向单位矢量为 $\mathbf{e}_n = \mathbf{e}_x 0.64 + \mathbf{e}_y 0.6 - \mathbf{e}_z 0.48$, 由媒质 2 指向媒质 1。若已知媒质 1 内邻近分界面上的点 P 处 $\mathbf{B} = (\mathbf{e}_x - \mathbf{e}_y 2 + \mathbf{e}_z 3) \sin 300t \text{ T}$, 求 P 点处下列量的大小: (1) B_{ln} ; (2) B_{lt} ; (3) B_{2n} ; (4) B_{2t} 。

解 (1) \mathbf{B}_1 在分界面法线方向的分量为

$$\begin{aligned}B_{ln} &= |\mathbf{B}_1 \cdot \mathbf{e}_n| = |(\mathbf{e}_x - \mathbf{e}_y 2 + \mathbf{e}_z 3) \cdot (\mathbf{e}_x 0.64 + \mathbf{e}_y 0.6 - \mathbf{e}_z 0.48)| \\ &= |0.64 - 1.2 - 1.44| = 2T\end{aligned}$$

$$(2) \quad B_{lt} = \left| \sqrt{B_1^2 - B_{ln}^2} \right| = \left| \sqrt{1 + 2^2 + 3^2 - 2^2} \right| = 3.16 \text{ T}$$

(3) 利用磁场边界条件, 得

$$B_{2n} = B_{1n} 2 \text{ T}$$

(4) 利用磁场边界条件, 得

$$B_{2t} = \frac{\mu_2}{\mu_1} B_{1t} = \frac{3\mu_0}{2\mu_0} \times 3.16 = 4.74 \text{ T}$$

2.28 媒质 1 的电参数为 $\varepsilon_1 = 5\varepsilon_0$ 、 $\mu_1 = 3\mu_0$ 、 $\sigma_1 = 0$, 媒质 2 可视为理想导体($\sigma_2 = \infty$)。

设 $y=0$ 为理想导体表面, $y>0$ 的区域(媒质 1)内的电场强度

$$\mathbf{E} = \mathbf{e}_y 20 \cos(2 \times 10^8 t - 2.58z) \text{ V/m}$$

试计算 $t=6\text{ns}$ 时: (1) 点 $P(2,0,0.3)$ 处的面电荷密度 ρ_s ; (2) 点 P 处的 \mathbf{H} ; (3) 点 P 处的面电流密度 \mathbf{J}_s 。

解 (1) $\rho_s = \mathbf{e}_n \cdot \mathbf{D}|_{y=0} = \mathbf{e}_y \cdot \mathbf{e}_y 20 \times 5\varepsilon_0 \cos(2 \times 10^8 t - 2.58z) =$
 $20 \times 5 \times 8.85 \times 10^{-12} \cos(2 \times 10^8 \times 6 \times 10^{-9} - 2.58 \times 0.3) =$
 $80.6 \times 10^{-11} \text{ C/m}^2$

(2) 由 $\nabla \times \mathbf{E} = -\mu \frac{\partial \mathbf{H}}{\partial t}$ 得

$$\frac{\partial \mathbf{H}}{\partial t} = -\frac{1}{\mu} \nabla \times \mathbf{E} = -\frac{1}{\mu} \left(-\mathbf{e}_x \frac{\partial E_y}{\partial z} \right) = \mathbf{e}_x \frac{1}{3\mu_0} \frac{\partial}{\partial z} [20 \cos(2 \times 10^8 t - 2.58z)] =$$

$$\mathbf{e}_x \frac{1}{3\mu_0} 20 \times 2.58 \sin(2 \times 10^8 t - 2.58z)$$

对时间 t 积分, 得

$$\mathbf{H} = \mathbf{e}_x \frac{1}{3\mu_0} 20 \times 2.58 \int \sin(2 \times 10^8 t - 2.58z) dt =$$

$$-\mathbf{e}_x \frac{20 \times 2.58}{3\mu_0 \times 2 \times 10^8} \cos(2 \times 10^8 t - 2.58z) =$$

$$-\mathbf{e}_x \frac{20 \times 2.58}{3 \times 4\pi \times 10^{-7} \times 2 \times 10^8} \cos(2 \times 10^8 \times 6 \times 10^{-9} - 2.58 \times 0.3) =$$

$$-\mathbf{e}_x 62.3 \times 10^{-3} \text{ A/m}$$

(3) $\mathbf{J}_s = \mathbf{e}_n \times \mathbf{H}|_{y=0} = \mathbf{e}_y \times (\mathbf{e}_x H_x)|_{y=0} = \mathbf{e}_z 62.3 \times 10^{-3} \text{ A/m}$